

# مقایسه شبکه‌های عمیق RetinaNet و Faster RCNN

## جهت تشخیص خودرو در آب و هوای نامساعد

یاسر جمشیدی و راضیه سادات اخوت

شرایط آب و هوایی متفاوت چالش برانگیزتر از تشخیص وسائل نقلیه در حالت عادیست. در این مقاله الگوریتمی خودکار مبتنی بر روش یادگیری عمیق برای تشخیص و ردهایی وسائل نقلیه در شرایط آب و هوایی متغیر ارائه خواهد شد. از مهم‌ترین مزایای یادگیری عمیق می‌توان به یادگیری خودکار ویژگی‌ها، یادگیری چندلایه ویژگی‌ها، قدرت تعمیم بالا در شناسایی داده‌های جدید و در نتیجه دقت بالا در نتایج اشاره کرد.

هدف در این مقاله، تشخیص خودرو در شرایط نامساعد آب و هوایی است که به وسیله آموزش دو شبکه RetinaNet و Faster RCNN انجام می‌شود. مروری بر ادبیات این موضوع در بخش دوم ارائه می‌گردد. در بخش سوم به نحوه عملکرد سیستم تشخیص اشیا و روش‌های متعدد تشخیص به طور خلاصه اشاره شده است. معرفی پایگاه داده در بخش چهارم انجام شده و بخش پنجم به توضیح معیار ارزیابی و نحوه عملکرد آن می‌پردازد. نهایتاً در بخش ششم با آزمایش دو شبکه نامبرده بر روی پایگاه داده وسائل نقلیه در آب و هوایی متغیر به بررسی نتایج در تشخیص خودرو پرداخته شده است.

### ۲- مروری بر کارهای گذشته

تشخیص خودرو، یکی از موضوعاتی است که بدليل اهمیت آن، تاکنون زیاد بر روی آن کار شده است. به طور مثال Hassaballah و همکاران [۲] یک روش تشخیص وسیله نقلیه با چارچوب الگوی باینری محلی را پیشنهاد کرده‌اند. در واقع این افراد یک روش ساده و مؤثر تشخیص وسیله نقلیه را بر اساس ویژگی‌ها و هیستوگرام محلی خودرو پیشنهاد داده‌اند. Kumar Bhaskar و همکاران [۳]، یک الگوریتم منحصر به فرد را برای تشخیص وسیله نقلیه و ردهایی با استفاده از مدل مخلوط گوسی و روش‌های تشخیص شیء ایجاد کرده‌اند. مدل گوسی، وظیفه جدا کردن پیش‌زمینه و پس‌زمینه از فریم تصویر با یادگیری پس‌زمینه یک صحنه را انجام می‌دهد. Wenqing Chu و همکاران [۴] نیز یک طرح جدید تشخیص وسیله نقلیه مبتنی بر شبکه‌های عصبی عمیق چندمنظوره و جداسازی منطقه مورد نظر را پیشنهاد داده‌اند. Luyang Zhang و همکاران [۵] با توجه به راندمان پایین تشخیص وسیله نقلیه در صحنه‌های واقعی، یک شبکه RetinaNet بهبودیافته را پیشنهاد می‌کنند. آنها یک ساختار پیچشی اکتاو و یک ساختار هرم وزنی جهت بهبود عملکرد RetinaNet برای تشخیص وسائل نقلیه معرفی کرده‌اند. از کانولوشن اکتاو به جای لایه کانولوشن سنتی استفاده کرده و به منظور بهبود کیفیت همچو شیوه ویژگی، یک ساختار شبکه هرمی ویژگی وزنی (WFPN) برای محدود کردن انتشار گرادیان‌ها بین سطوح مختلف

چکیده: تشخیص وسائل نقلیه و ردهایی آن، نقش مهمی در اتومبیل‌های خودران و سیستم‌های حمل و نقل هوشمند ایقا می‌کند. شرایط آب و هوایی نامساعد مانند حضور برف سنگین، مه، باران و گرد و غبار با کاهش دید دوربین، محدودیت‌های خط‌رنگی ایجاد کرده و بر عملکرد الگوریتم‌های تشخیصی استفاده شده در سیستم‌های نظارت بر ترافیک و برنامه‌های رانندگی خودکار تأثیر می‌گذارد. در این مقاله از شبکه عمیق تشخیص اشیای Faster RCNN با هسته ResNet<sup>۵۰</sup> و شبکه RetinaNet استفاده شده و دقت این دو شبکه جهت تشخیص خودرو در آب و هوای نامساعد مورد بررسی قرار می‌گیرد. پایگاه داده مورد استفاده، فایل DAWN می‌باشد که شامل تصاویر دنیای واقعی است و با انواع مختلفی از شرایط آب و هوایی نامطلوب جمی‌آوری شده‌اند. نتایج بدست‌آمدۀ نشان می‌دهند که روش ارائه شده در بهترین حالت، دقت تشخیص را از ۷۵٪ به ۷۵٪ افزایش داده و بیشترین میزان افزایش دقت نیز مربوط به شرایط بارانی می‌باشد. تمام پردازش‌ها به زبان پایتون و در گوگل کولب انجام شده است.

**کلیدواژه:** تشخیص شیء، تشخیص خودرو، یادگیری عمیق، سیستم‌های حمل و نقل هوشمند، پردازش تصویر در آب و هوای نامساعد.

### ۱- مقدمه

پیش‌بینی مکان یا ردهایی وسائل نقلیه، موضوعی مهم در جاده‌های و از این رو تحقیقات زیادی برای ردهایی خودرو صورت گرفته که هم در شرایط عادی و هم در شرایط غیرعادی می‌توان از آنها و یا از ترکیب آنها استفاده نمود [۱]. کارایی تشخیص وسائل نقلیه به عنوان یک گام مهم در نظارت ترافیک یا نظارت هوشمند در نظر گرفته می‌شود. سیستم‌های تشخیص وسائل نقلیه باید دقیقاً اهداف ترافیک (مثلًا ماشین‌ها، موتورها و ...) را در کمترین زمان و با بالاترین دقت شناسایی کنند. برای تشخیص این اشیا، انواع مختلفی از حسگرها مثل دوربین و تشخیص نور در وسائل نقلیه مستقل به کار گرفته می‌شوند. در بین این انواع، کیفیت تصاویر دوربین کاملاً تحت تأثیر شرایط آب و هوایی مانند بارندگی سنگین، بارش برف سنگین، طوفان‌های برفی، گرد و غبار و شرایط نوری پایین قرار دارد. در چنین شرایطی، دید کافی برای دوربین‌های سیستم تشخیص وسائل نقلیه در جاده‌ها وجود نخواهد داشت؛ بنابراین تشخیص وسائل نقلیه در بازنگری شد.

این مقاله در تاریخ ۳ آبان ماه ۱۴۰۱ دریافت و در تاریخ ۱۰ آبان ماه ۱۴۰۲ بازنگری شد.  
یاسر جمشیدی، گروه مهندسی برق، دانشکده فنی مهندسی، دانشگاه علم و فرهنگ، تهران، ایران، (email: yass2j@gmail.com).  
راضیه سادات اخوت (نویسنده مسئول)، گروه مهندسی برق، دانشکده فنی مهندسی، دانشگاه علم و فرهنگ، تهران، ایران، (email: r.s.okhovat@usc.ac.ir).

درباره دلیل انتخاب این دو شبکه و همچنین نتایج به دست آمده توسط آنها بیشتر توضیح داده می‌شود.

### ۳- تشخیص اشیا

#### ۱-۳ یادگیری عمیق

یادگیری عمیق، زیرساخه‌ای از یادگیری ماشین است که از لایه‌های متعدد تبدیلات خطی بهمنظور پردازش سیگنال‌های حسی مانند صدا و تصویر استفاده می‌کند [۱۸]. ماشین در این روش هر مفهوم پیچیده را به مفاهیم ساده‌تری تقسیم می‌کند و با ادامه این روند به مفاهیم پایه‌ای می‌رسد که قادر به تضمیم‌گیری برای آنهاست و بدین ترتیب، نیازی به نظارت کامل انسان برای مشخص کردن اطلاعات لازم ماشین در هر لحظه نیست. موضوعی که در یادگیری عمیق اهمیت زیادی دارد، نحوه ارائه اطلاعات است. ارائه‌دادن اطلاعات به ماشین باید به شیوه‌ای باشد که ماشین در کمترین زمان، اطلاعات کلیدی را که می‌تواند با استناد به آنها تضمیم بگیرد دریافت کند. یادگیری عمیق اغلب شامل یادگیری سلسه‌مراتبی است [۱۹]. شبکه عمیق نوعی شبکه عصبی مصنوعی است که با استفاده از تکنیک‌های ریاضی، ساختاری مشابه با ساختار مغز انسان به ما می‌دهد. هرچه تعداد نورون‌های مصنوعی در لایه پنهان بیشتر باشند مدل پیچیده‌تری شود و به شبکه‌های عصبی که تعداد لایه‌های پنهان آنها زیاد است، شبکه عصبی عمیق گفته می‌شود. به سیله شبکه‌های عصبی عمیق، مسائل بسیار پیچیده در زمینه پیش‌بینی و دسته‌بندی، ساده حل می‌شود و از طرفی پیشرفت تکنولوژی باعث شده که الگوریتم‌هایی برای بهینه‌سازی شبکه‌های عصبی معمولی به وجود آید تا بتواند تعداد لایه‌های نورونی شبکه‌های عصبی را از چند لایه به هزاران لایه برساند. شبکه عصبی عمیق، ارتباط داده‌های ورودی و خروجی را پیدا می‌کند. الگوریتم‌های یادگیری عمیق با معرفی راه حل‌هایی مؤثر و کارآمد، انقلابی را در جامعه بینایی کامپیوتر به ارمغان آورده است.

#### ۲-۳ انواع روش‌های تشخیص اشیا

تشخیص اشیا، روشی خودکار برای تعیین مکان اشیای مورد نظر در یک تصویر با توجه به پس‌زمینه است. در مدل‌های تشخیص شیء مبتنی بر یادگیری عمیق، معمولاً دو روش وجود دارد: الگوریتم‌های دسته اول، ابتدا بررسی منطقه‌ای انجام می‌دهند؛ بدین معنا که منطقی که احتمال وجود اشیا در آنها بیشتر است انتخاب می‌شوند. این انتخاب یا توسط روش‌های قدیمی بینایی ماشین (مثل جستجوی انتخابی) انجام می‌شود یا توسط شبکه پیشنهادی منطقه‌ای بر مبنای یادگیری عمیق کار می‌کند. پس از به دست آمدن گروهی کوچک از پنجره‌ها، تشخیص اشیا به کمک معادله‌های مشکل از چند مدل رگرسیون و چند مدل طبقه‌بندی، انجام می‌شود. این کار شامل الگوریتم‌هایی از قبیل روش Faster RCNN [۲۰]، Fast RCNN [۲۱] و ... است. الگوریتم‌هایی که در این دسته قرار دارند معمولاً روش دومرحله‌ای نامیده می‌شوند. الگوریتم‌های دسته دوم تنها در مکان‌ها و اندازه‌های مشخص دنبال اجسام می‌گردند. این مکان‌ها و اندازه‌ها به گونه استراتژیکی انتخاب می‌شوند تا بیشتر حالات ممکن را پوشش دهند. الگوریتم‌های این گروه معمولاً عکس را به چند بخش با اندازه مشخص تقسیم می‌کنند. سپس در نظر می‌گیرند که در هر بخش، تعداد مشخصی اجسام با اشکال و اندازه‌های از پیش تعیین شده وجود دارد. الگوریتم‌های این دسته روش تک مرحله‌ای نامیده می‌شوند که YOLO [۲۲]، RetinaNet [۲۳] و SSD [۲۴] از مثال‌های این دسته هستند.

پیشنهاد داده‌اند. Ju-Seok Shin [۶] و همکاران یک سیستم تشخیص خودرو در زمان واقعی با استفاده از طرح یادگیری عمیق برای کاهش نرخ مثبت کاذب پیشنهاد کرده‌اند. علاوه بر این، الگوریتم خود را در یک سیستم تعبیه شده برای تأیید زمان واقعی پیاده‌سازی کرده‌اند. نتایج تجربی نشان می‌دهند که میانگین زمان پردازش مأذول‌های تشخیص خودرو در این روش حدود ۱۵ فریم در ثانیه است. Hai Wang [۷] و همکاران در پنج الگوریتم اصلی یادگیری عمیق جهت تشخیص اشیا یعنی داده‌های خودرویی KITTI تست کرده و نتایج به دست آمده را از نظر زمان Hulin Kuang [۸] در سال ۲۰۱۷ داشتند. در این روش، YOLOv۳، RetinaNet، R-FCN، Faster RCNN و SSD از سیله نقلیه مؤثر در شب با ترکیب استخراج منطقه مورد نظر و بهبود تصویر را برای تشخیص خودرو در شب ارائه داده‌اند که برای تشخیص وسایل نقلیه بیشتر به چراغ‌های قرمز عقب خودروها متمرکز شده‌اند. Sakaridis [۹] و همکاران در این مدل مبتنی بر شبکه عصبی (CNN) را برای ایجاد مه مصنوعی بر روی تصاویر وسایل نقلیه واقعی برای بررسی الگوریتم‌های مهندسی در محیط‌های ترافیکی پیشنهاد کرده‌اند. مه، دید یک صحنه را به میزان قابل توجهی کاهش می‌دهد. Hodges [۱۰] و همکاران با یک شبکه مهندسی برای اصلاح تصاویر کامل و یک شبکه جداگانه برای بهبود کارایی پارامترهای وزنی را برای افزایش عملکرد تشخیص وسیله نقلیه بر روی مجموعه داده تصاویر مه‌آلود و مه‌آلود مصنوعی پیشنهاد نموده‌اند. معماری شبکه مهندسی بر اساس معماری DehazeNet [۱۱] می‌باشد. Siyuan Li [۱۲] در سال ۲۰۱۹ یک الگوریتم حذف باران از تصویر با معیار جدید را در مقیاس بزرگ، شامل تصاویر بارانی مصنوعی و واقعی از انواع مختلف باران در صحنه کنترل ترافیک و تشخیص خودرو ارائه کرده‌اند. برای ارزیابی بهتر از این مقاله از انواع باران‌های مصنوعی بر روی تصاویر برای آموزش و ارزیابی شبکه استفاده گردیده و بعد از آن از یک مرحله پیش‌پردازش برای حذف اثر باران از تصاویر استفاده می‌شود. به این صورت که یک تصویر ورودی را به اجزای فرکانس پایین و بالا تجزیه کرده و سپس فرکانس‌های رگه‌های باران را از طریق کدگذاری پراکنده از لایه فرکانس بالا جدا می‌کنند. روش‌های متعدد دیگری نیز برای حذف باران از تصویر ارائه شده‌اند که لزوماً برای تصاویر ترافیکی نیستند. به طور مثال Yi-Lei Chen [۱۳] لایه‌های پس‌زمینه و رگه‌های باران را بر اساس طبقه‌بندی فرکانسی و حذف لبه‌های ضعیف تجزیه کرده. Lei Zhu [۱۴] نیز یک روش حذف باران را بر اساس جداسازی رگه‌های باران که معمولاً طیف باریکی از جهات را در بر می‌گیرند، معرفی کرده‌اند. بدین ترتیب پس از حذف باران از تصاویر ترافیکی، نهایتاً با یک مدل شبکه عمیق می‌توان وسایل تشخیص داد. Sudha [۱۵] یک الگوریتم ردیابی وسیله نقلیه چندگانه را با شرایط آب و هوایی مختلف مثل بارانی، شب و مه با استفاده از یادگیری عمیق پیشنهاد می‌کنند که با استفاده از YOLO V7۳ کار کرده و الگوریتم تشخیص پس‌زمینه از شیء تقویت شده است. نتایج آزمایش الگوریتم پیشنهادی با ده ویدئوی ورودی مختلف و دو مجموعه داده معیار KITTI و DETRAC آزمایش شده‌اند که دقت ۹۸.۶٪ را دهد. Xiaohong Han [۱۶] و همکاران در YOLO-v7 [۱۷] تغییریافته معرفی نموده‌اند تا تشخیص تصاویر کوچک خودرو دارای مشکلات دقت کم و عملکرد ضعیف را بهبود بخشنند.

در این مقاله از دو شبکه RetinaNet و Faster RCNN برای تشخیص خودرو در شرایط بد آب و هوایی استفاده شده است. در ادامه

از یک شبکه اصلی و دو زیرشبکه تشکیل گردیده است [۲۶]. شبکه اصلی مسئول محاسبه یک نقشه ویژگی کانولوشن در کل تصویر ورودی است؛ یعنی از هر طبقه‌بندی کننده دلخواه می‌تواند استفاده کند. اولین زیرشبکه، طبقه‌بندی شیء را بر روی خروجی شبکه اصلی انجام می‌دهد و در واقع احتمال حضور شیء را در هر موقعیت مکانی پیش‌بینی می‌کند. زیرشبکه دوم رگرسیون کادر مستطیلی کانولوشنی را انجام می‌دهد. این دو زیرشبکه دارای طراحی ساده‌ای هستند. شکل ۲ معماری شبکه RetinaNet را نمایش می‌دهد.

#### ۴- پایگاه داده

پایگاه داده مورد استفاده در این مقاله DAWN است که شامل چهار پوشه مه آلود، بارانی، برفی و گرد و غبار می‌باشد. هر پوشش شامل پنج نوع شیء جهت تشخیص (خودرو (۸۲٪)، اتوبوس (۲۰٪)، کامیون (۷٪)، موتورسیکلت (۱۳٪) و انسان (۶٪)) و ۷۸۴۵ (۸٪) کادر محدود کننده یا مستطیلی است که به صورت فایل VOC PASCAL VOC می‌باشد [۱]. فایل VOC شامل شماره تصویر، اندازه تصویر، کلاس شیء (متلاً خودرو یا دوچرخه) و ابعاد کادرها مستطیلی شیء که در تصویر مشخص شده می‌باشد. لازم به ذکر است که به ازای هر تعداد شیء در هر تصویر، این مقادیر ثبت می‌شود. شکل ۳ نمونه‌های مختلف آب و هوایی پایگاه داده را نمایش می‌دهد.

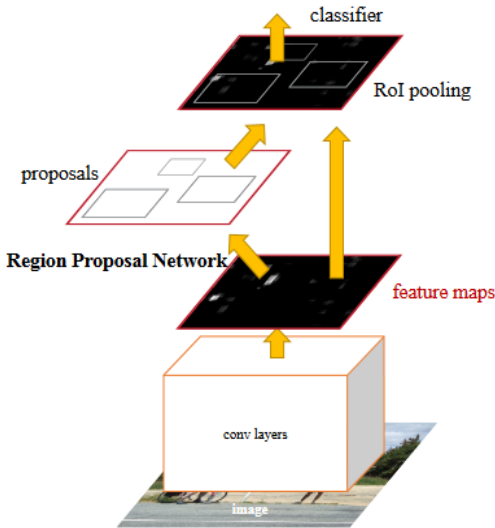
#### ۵- معیار ارزیابی آشکارسازی شیء

##### ۱-۵ تعریف Recall و Precision

برای محاسبه Precision و Recall نیاز است که TP، FP و FN برای تشخیص اشیا تعریف شود. برای محاسبه TP، FP، FN نیاز است IoU محاسبه شود. IoU سنجش همپوشانی بین دو کادر مستطیلی به نامهای کادر مستطیلی مینا و کادر مستطیلی پیش‌بینی شده را ارزیابی می‌کند. با اعمال IoU می‌توان تشخیص داد که آشکارساز معتبر است یا نامعتبر. پیش‌بینی صحیح (TP) به این معناست که IoU بیشتر از حد آستانه است. این آستانه بسته به چالش قابل تنظیم بوده ولی ۰/۵ یک مقدار استاندارد است. به عنوان مثال روابط زیر نظری MS COCO از mAP@۰،۷۵ یا mAP@۰،۵ استفاده می‌کنند. این بدان معناست که اگر IoU بیشتر از این مقدار آستانه باشد مثبت صحیح (TP) و اگر کمتر از آستانه باشد مثبت کاذب (FP) در نظر گرفته می‌شود.

##### ۲-۵ محاسبه mAP

برای محاسبه Average Precision ابتدا نمودار PR رسم می‌شود. این منحنی روش مناسبی برای ارزیابی عملکرد آشکارسازی شیء است. اکنون که منحنی PR وجود دارد، AP یا دقت میانگین با محاسبه سطح زیر نمودار محاسبه می‌شود. آنگاه نهایتاً با میانگین گیری از AP برای دسته‌های مختلف mean AP بدست می‌آید. در مسابقات COCO، رنجی از مقادیر IoU (حد آستانه) در نظر گرفته می‌شود. ارزیاب COCO می‌تواند AP را به روش‌های مختلف یعنی  $[AP@0.5:0.95]$ ،  $AP@0.5:0.90$ ،  $AP@0.5:0.85$  و  $AP@0.5:0.75$  گزارش کند.  $[AP@0.5:0.95]$  یعنی مقدار آستانه IoU از ۰،۵ تا ۰،۹۵ با طول گام ۰،۰۵ به صورت ۱۰ تغییر داده شده است.



شکل ۱: یک شبکه واحد و یکپارچه برای تشخیص اشیاست. مازول RPN به عنوان «پیش‌بینی» این شبکه یکپارچه عمل می‌کند [۱۳].

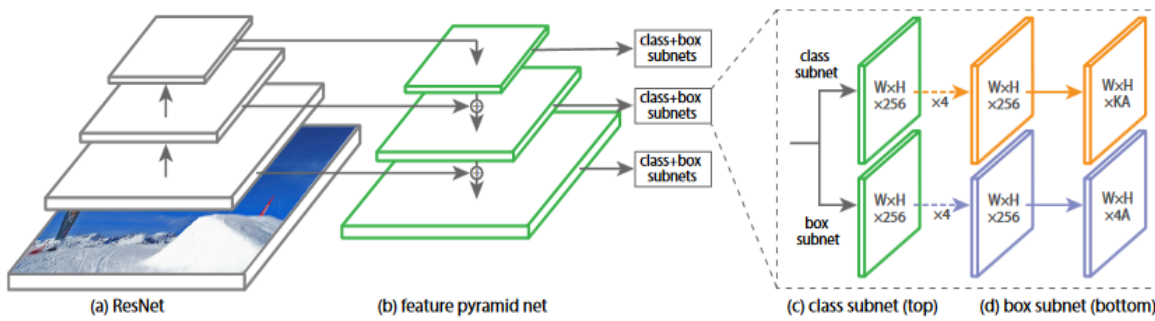
الگوریتم‌های این دسته نسبت به الگوریتم‌های دو مرحله‌ای معمولاً سریع‌تر عمل می‌کنند؛ اما دقت کمتری دارند. اغلب برای استفاده از این الگوریتم‌ها از برنامه‌های دارای ویژگی شناسایی لحظه‌ای استفاده می‌کنند.

#### ۳-۳ شبکه کانولوشنی

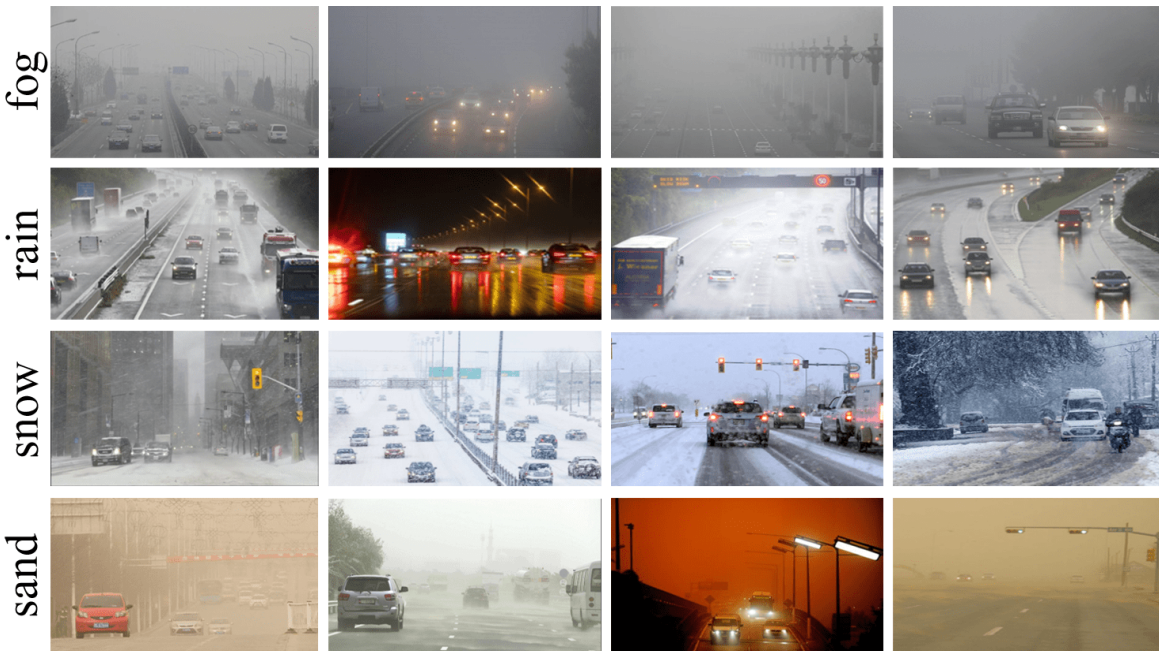
شبکه RCNN Faster، نسخه سوم خانواده RCNN است که در سال ۲۰۱۶ معرفی گردید و شکل ۱ چارچوب این شبکه را نمایش می‌دهد. Shaoqing Ren و همکاران، یک الگوریتم تشخیص اشیا را ارائه کردند که الگوریتم جستجوی گرینشی را حذف کرده و به شبکه اجازه می‌دهد تا پیشنهادهای منطقه را یاد بگیرد. شبیه به Fast RCNN، تصویر به عنوان ورودی به یک شبکه کانولوشن ارائه شده که یک نقشه ویژگی کانولوشن ارائه می‌دهد. به جای استفاده از الگوریتم جستجوی گرینشی بر روی نقشه ویژگی، برای شناسایی پیشنهادهای منطقه از یک شبکه جداگانه برای پیش‌بینی پیشنهادهای منطقه استفاده می‌شود. سپس پیشنهادهای منطقه پیش‌بینی شده با استفاده از یک لایه ادغام ROI تغییر شکل می‌دهند که نهایتاً برای طبقه‌بندی تصویر در منطقه پیشنهادی و پیش‌بینی مقادیر افست برای جعبه‌های مرزی استفاده می‌شود. سپس پیشنهادهای منطقه پیش‌بینی شده با استفاده از یک طبقه‌بندی تصویر در منطقه پیشنهادی و پیش‌بینی مقادیر افست برای جعبه‌های مرزی استفاده می‌شود. Faster RCNN بسیار سریع‌تر از نسخه‌های قبلی خود است و بقابلیت این برای تشخیص اشیا در زمان کم یا آنلاین استفاده کرد.

#### ۴-۴ شبکه RetinaNet

RetinaNet در سال ۲۰۱۷ توسط محققان از FAIR پیشنهاد شد که یک چارچوب یک مرحله‌ای مانند YOLO و SSD است. RetinaNet از شبکه پایه ResNet + FPN [۲۵] برای ایجاد یک هرم ویژگی کانولوشن چندمقیاسی غنی استفاده می‌کند. آشکارسازهای یک مرحله‌ای که در نمونه‌برداری منظم و متراکم از مکان‌های احتمالی اشیا استفاده می‌کنند، پتانسیل سریع‌تر و ساده‌تر بودن را دارند؛ اما به دلیل عدم تعادل کلاسی شدید که در طول آموزش با آن مواجه می‌شوند از دقت آشکارسازهای دو مرحله‌ای عقب‌تر هستند. RetinaNet از یکتابع انتلاف جدید به نام focal loss برای رسیدگی به عدم تعادل کلاس در طول آموزش استفاده می‌کند. یک شبکه واحد و یکپارچه است که



شکل ۲: معماری شبکه RetinaNet از یک مرحله‌ای برای تولید یک هرم ویژگی پیچیده و چندمقیاسی غنی استفاده می‌کند [۱۷].



شکل ۳: نمونه تصاویر مجموعه داده DAWN که چهار مورد شرایط بدآب و هوایی را نشان می‌دهد [۱].

روشنایی تصویر، چرخش تصویر و جابه‌جایی افقی و عمودی تصویر اشاره کرد. از طرفی نوع تعییر تصویر برای داده‌افزایی بسیار مهم است؛ به گونه‌ای که اگر از تبدیل‌های درستی استفاده نشود، نه تنها دقت تشخیص شبکه بیشتر نخواهد شد بلکه کمتر نیز می‌شود. مثلاً می‌توان نشان داد که چرخش تصویر با زاویه نادرست و همچنین جابه‌جایی عمودی به تشخیص خودرو کمکی نخواهد کرد. به عبارت دیگر اگر داده‌افزایی با یکی از این دو روش انجام شود، دقت تشخیص خودرو توسط شبکه آموزش داده شده با چنین داده‌هایی کاهش می‌یابد. در این مقاله از روش داده‌افزایی برای افزایش تعداد داده‌های آموزش استفاده شده و روش‌های مورد استفاده نیز تعییر در روشنایی تصویر و جابه‌جایی افقی تصویر هستند.

## ۶-۲ آموزش شبکه Faster RCNN

پایگاه داده DAWN به دو قسمت آموزش و تست تقسیم می‌شود و معمولاً ۸۰٪ داده‌ها برای آموزش شبکه و ۲۰٪ جهت تست مورد استفاده قرار می‌گیرند. سپس یک شبکه Faster RCNN از پیش آموزش داده شده به عنوان شبکه اصلی انتخاب می‌گردد و این شبکه توسط تصاویر آموزش داده می‌شود. با این روش، تشخیص شبکه در تصاویر مهآلود از ۲۶٪ در IoU = ۰,۵ به ۷۰٪ افزایش پیدا کرده است. جدول ۱ نتیجه تست تصاویر مهآلود می‌باشد که این تست بر روی دیگر شرایط آب و هوایی نیز تکرار شده است. جدول ۲ مربوط به آب و هوایی گرد و غبار، جدول ۳ مربوط به آب و هوایی برفی و جدول ۴ مربوط به آب و هوایی بارانی می‌باشد.

## ۶-۳ آزمون و نتایج

### ۶-۱ پیش‌پردازش و داده‌افزایی

روش پیشنهادی در این مقاله برای پیش‌پردازش تصویر،<sup>۱</sup> AWB است که جهت بهبودKontrast تصویر استفاده می‌شود و به شبکه برای تشخیص بهتر خودرو کمک خواهد کرد. نحوه کار سیستم AWB به این صورت خواهد بود که ابتدا تصویر ورودی را به سه کanal قرمز، آبی و سبز تبدیل کرده و سپس هر کanal تصویر به صورت جداگانه از یک فیلتر یکنواخت‌ساز هیستوگرام<sup>۲</sup> عبور داده می‌شود. مجدد با استفاده از فیلتر تصحیح گاما، نور و رنگ تصویر را بهبود داده و نهایتاً با فیلتر لاپلاسین لبه‌های تصویر تقویت می‌شود.

شبکه‌های عصبی عمیق برای به دست آوردن نتایج خوب و جلوگیری از برآردن بیش از حد به داده‌های آموزشی زیادی نیاز دارند؛ با این حال، اغلب به دست آوردن نمونه‌های آموزشی کافی بسیار دشوار است. خصوصاً برچسبزنی نمونه‌های آموزشی به زمان زیادی نیاز دارد و در مواردی بسیار پرهزینه است. داده‌افزایی، فرایند ایجاد نمونه‌های آموزشی جدید از نمونه‌های موجود است که به طور مؤثر انواع زیادی از عملیات تبدیل تصویر را پیاده‌سازی می‌کند. از جمله این تبدیلات می‌توان به تعییر در

1. Automatic White Balance
2. Histogram Equalization

جدول ۱: نتیجه تست شبکه FASTER RCNN برای تصاویر مه‌آلود.

شرایط محاسبه دقت	IoU	Average Precision
قبل از آموزش شبکه	۰.۵	۰.۲۶۲
	۰.۷۵	۰.۱۵۰
	[۰.۵: ۰.۷۵: ۰.۹۵]	۰.۱۴۷
	۰.۵	۰.۲۰۱
بعد از آموزش شبکه	۰.۷۵	۰.۳۷۴
	[۰.۵: ۰.۷۵: ۰.۹۵]	۰.۴۱۰

جدول ۲: نتیجه تست شبکه FASTER R-CNN برای تصاویر گرد و غبار.

شرایط محاسبه دقت	IoU	Average Precision
قبل از آموزش شبکه	۰.۵	۰.۲۱۴
	۰.۷۵	۰.۱۳۶
	[۰.۵: ۰.۷۵: ۰.۹۵]	۰.۱۲۸
	۰.۵	۰.۵۷۰
بعد از آموزش شبکه	۰.۷۵	۰.۲۸۶
	[۰.۵: ۰.۷۵: ۰.۹۵]	۰.۳۵۰

جدول ۳: نتیجه تست شبکه FASTER R-CNN برای تصاویر برفی.

شرایط محاسبه دقت	IoU	Average Precision
قبل از آموزش شبکه	۰.۵	۰.۱۵۰
	۰.۷۵	۰.۰۹۲
	[۰.۵: ۰.۷۵: ۰.۹۵]	۰.۰۹۲
	۰.۵	۰.۵۲۵
بعد از آموزش شبکه	۰.۷۵	۰.۳۶۶
	[۰.۵: ۰.۷۵: ۰.۹۵]	۰.۳۲۰

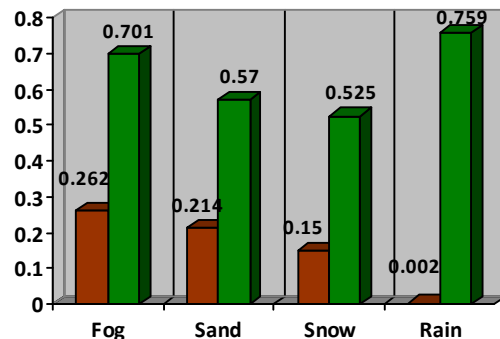
جدول ۴: نتیجه تست شبکه FASTER RCNN برای تصاویر بارانی.

شرایط محاسبه دقت	IoU	Average Precision
قبل از آموزش شبکه	۰.۵	۰.۰۰۲
	۰.۷۵	۰.۰۰۰
	[۰.۵: ۰.۷۵: ۰.۹۵]	۰.۰۰۱
	۰.۵	۰.۷۵۹
بعد از آموزش شبکه	۰.۷۵	۰.۶۵۶
	[۰.۵: ۰.۷۵: ۰.۹۵]	۰.۵۵۱

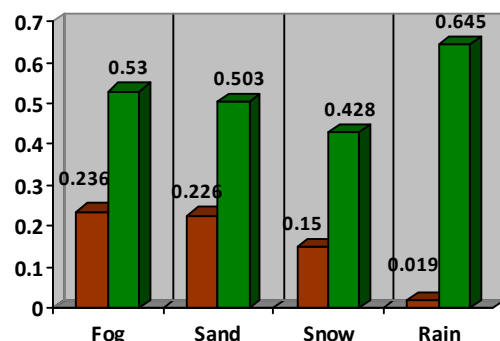
آموزش داده می‌شود. نتیجه آموزش و تست شبکه در هر آب و هوای جداول ۵ تا ۸ قابل مشاهده است. در شکل ۵ می‌توانید نتیجه تست چهار آب و هوای مختلف را قبل و بعد از آموزش شبکه RetinaNet مقایسه کنید. شکل ۶ مثالی از تشخیص خودرو در شرایط مختلف آب و هوایی بعد از آموزش شبکه می‌باشد.

#### ۶-۴ مقایسه شبکه‌ها

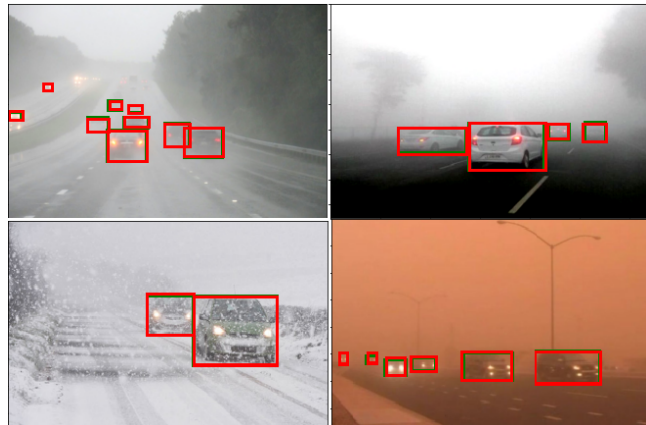
بعد از آموزش شبکه‌ها و دیدن نتایج در این بخش، نتایج به دست آمده را با نتایج [۱] مقایسه خواهیم کرد. در [۱] از شبکه‌های مختلف برای تشخیص خودرو در شرایط بد آب و هوایی استفاده شده و نکته مورد توجه آن است که این شبکه‌ها از پیش آموزش داده شده هستند و آموزش جدیدی توسط مجموعه داده DAWN که مختص تشخیص خودرو در شرایط بد آب و هوایی است داده نشده‌اند. علت این امر آن است که هدف در [۱]، علاوه بر تشخیص خودرو، ردگیری آن است و بنابراین تمرکز مقاله بر روی تشخیص خودرو نیست. با توجه به [۱]، بهترین نتایج جهت تشخیص



شکل ۴: نتیجه تست شبکه Faster RCNN که قسمت قرمزگ، قبل از آموزش شبکه و قسمت سبزرنگ، بعد از آموزش شبکه است.



شکل ۵: نتیجه تست شبکه RetinaNet که قسمت قرمزگ، قبل از آموزش شبکه و قسمت سبزرنگ، بعد از آموزش شبکه است.



شکل ۶: تصاویر تشخیص خودرو توسط شبکه Faster RCNN در شرایط مختلف آب و هوایی (کادر قرمز پیش‌بینی شبکه و کادر سبز کادر اصلی است).

در شکل ۴ می‌توانید نتیجه تست چهار آب و هوای مختلف را قبل و بعد از آموزش در شبکه Faster RCNN مقایسه کنید. آنچه که در شکل نشان داده شده است، دقت تشخیص خودرو توسط شبکه در شرایط مختلف آب و هوایی و با انتخاب  $\text{IoU} = 0.5$  متفاوت است. همچنان دقت شبکه جهت تشخیص خودرو در شرایط که مشاهده می‌شود، افزایش دقت شبکه جهت تشخیص خودرو در شرایط بد آب و هوایی با آموزش شبکه بر روی چنین داده‌هایی بهوضوح قابل تشخیص است. همچنان اختلاف دقت در شرایط مختلف آب و هوایی متفاوت است؛ اما در همه حالت‌ها به میزان قابل توجهی وجود دارد. مثلاً در شرایط بارانی، دقت شبکه پس از آموزش آن بر روی چنین داده‌هایی از ۷۵٪ به ۸۲٪ افزایش یافته است.

#### ۶-۳-۳ آموزش شبکه

در این بخش نیز یک شبکه RetinaNet از پیش آموزش داده شده به عنوان شبکه اصلی انتخاب می‌شود و این شبکه توسط تصاویر هر گروه

جهت تشخیص هرچه بهتر خودرو در تصاویر، بهترین روش استفاده از شبکه‌های عصبی عمیق در زمینه بینایی کامپیوتر می‌باشد. در این پژوهش سه کار جدید انجام شده است: اول پیش‌پرداز تصویر است که باعث افزایش کیفیت تصویر و در نتیجه افزایش دقت تشخیص خودروها در آب‌وهای نامناسب می‌شود. دوم پیاده‌سازی روش‌های داده‌افزایی است که با استفاده از آنها آموزش شبکه با دقت بیشتری انجام می‌شود. سوم آموزش دو شبکه کاملاً عمیق با نام‌های Faster RCNN و RetinaNet است و هر دو بسیار عالی عمل می‌کنند. استفاده از شبکه‌های از پیش آموزش دیده شده، کمک بسیاری در بالابردن قدرت تشخیص و کم کردن دوره‌های آموزش کرده و نیاز شبکه به پایگاه داده خیلی قدر تمند را کمتر می‌کند؛ ولی با این حال تعداد بیشتر تصاویر کمک بیشتر به شبکه در جهت آموزش خواهد نمود. نهایتاً در این مقاله بهترین عملکرد برای شبکه Faster RCNN بوده است. می‌توان پیشنهادهایی جهت افق آینده تحقیق به شرح زیر ارائه نمود:

- (۱) استفاده از دیتابیس قوی‌تر با تعداد بیشتر تصاویر در جهت آموزش شبکه عصبی برای بالابردن دقت تشخیص خودرو
- (۲) بهترنمودن کیفیت تصویر با روش پیش‌پردازش با فیلترهای متفاوت پردازش تصویر و آزمایش و بررسی بیشتر روی این موضوع
- (۳) استفاده از سایر شبکه‌های عمیق از پیش آموزش دیده و آزمایش روی این شبکه‌ها که به طور مثال می‌توان از شبکه YOLOv5 استفاده نمود و نتیجه را بررسی کرد.
- (۴) تغییر هسته شبکه‌های معروف شده و تست این شبکه که نهایتاً عملکرد تشخیص را بهتر نماید.

## مراجع

- [1] M. Hassaballah, M. A. Kenk, K. Muhammad, and S. Minaee, "Vehicle detection and tracking in adverse weather using a deep learning framework," *IEEE Trans. on Intelligent Transportation Systems*, vol. 22, no. 7, pp. 4230-4242, Jul. 2020.
- [2] M. Hassaballah, M. A. Kenk, and I. M. El-Henawy, "Local binary pattern-based on-road vehicle detection in urban traffic scene," *Pattern Analysis and Applications*, vol. 23, no. 4, pp. 1505-1521, 2020.
- [3] P. Kumar Bhaskar and S. Yong, "Image processing based vehicle detection and tracking method," in *Proc. Int. Conf. on Computer and Information Sciences, ICCOINS'14*, 5 pp., Kuala Lumpur, Malaysia, 03-05 Jun. 2014.
- [4] W. Chu, Y. Liu, C. Shen, D. Cai, and X. S. Hua, "Multi-task vehicle detection with region-of-interest voting," *IEEE Trans. Image Process.*, vol. 27, no. 1, pp. 432-441, Jan. 2018.
- [5] L. Zhang, *et al.*, "Vehicle object detection based on improved retinanet," *J. of Physics: Conf. Series*, vol. 1757, no. 1, Article ID: 012070, 2021.
- [6] J. Shin, *et al.*, "Real-time vehicle detection using deep learning scheme on embedded system," in *Proc. 9th Int. Conf. on Ubiquitous and Future Networks, ICUFN'17*, pp. 272-274, Milan, Italy, 4-7 Jul. 2017.
- [7] H. Wang, *et al.*, "A comparative study of state-of-the-art deep learning algorithms for vehicle detection," *IEEE Intelligent Transportation Systems Magazine*, vol. 11, no. 2, pp. 82-95, Summer 2019.
- [8] H. Kuang, X. Zhang, Y. J. Li, L. L. H. Chan, and H. Yan, "Nighttime vehicle detection based on bio inspired image enhancement and weighted score-level feature fusion," *IEEE Trans. Intell. Transp. Syst.*, vol. 18, no. 4, pp. 927-936, Apr. 2017.
- [9] C. Sakaridis, D. Dai, and L. Van Gool, "Semantic foggy scene understanding with synthetic data," *Int. J. Comput. Vis.*, vol. 126, no. 9, pp. 973-992, Sept. 2018.
- [10] C. Hodges, M. Bennamoun, and H. Rahmani, "Single image dehazing using deep neural networks," *Pattern Recognit. Lett.*, vol. 128, pp. 70-77, Dec. 2019.
- [11] B. Cai, X. Xu, K. Jia, C. Qing, and D. Tao, "Dehazenet: an end-to-end system for single image haze removal," *IEEE Trans. on Image Processing*, vol. 25, pp. 5187-5198, 2016.

جدول ۵: نتیجه تست شبکه RETINANET برای تصاویر مه آلود.

شرایط محاسبه دقت	IoU	Average Precision
قبل از آموزش شبکه	.۵	.۲۳۶
[.۰۵: .۰۵: .۹۵]	.۷۵	.۱۵۰
بعد از آموزش شبکه	.۵	.۵۳۰
[.۰۵: .۰۵: .۹۵]	.۷۵	.۲۴۷
	[.۰۵: .۰۵: .۹۵]	.۲۸۹

جدول ۶: نتیجه تست شبکه RETINANET برای تصاویر گرد و غبار.

شرایط محاسبه دقت	IoU	Average Precision
قبل از آموزش شبکه	.۵	.۲۲۶
[.۰۵: .۰۵: .۹۵]	.۷۵	.۱۸۷
بعد از آموزش شبکه	.۵	.۵۳۳
[.۰۵: .۰۵: .۹۵]	.۷۵	.۲۵۶
	[.۰۵: .۰۵: .۹۵]	.۲۷۹

جدول ۷: نتیجه تست شبکه RETINANET برای تصاویر برفی.

شرایط محاسبه دقت	IoU	Average Precision
قبل از آموزش شبکه	.۵	.۱۵۰
[.۰۵: .۰۵: .۹۵]	.۷۵	.۰۸۷
بعد از آموزش شبکه	.۵	.۴۲۸
[.۰۵: .۰۵: .۹۵]	.۷۵	.۲۸۵
	[.۰۵: .۰۵: .۹۵]	.۲۶۷

جدول ۸: نتیجه تست شبکه RETINANET برای تصاویر بارانی.

شرایط محاسبه دقت	IoU	Average Precision
قبل از آموزش شبکه	.۵	.۰۱۹
[.۰۵: .۰۵: .۹۵]	.۷۵	.۰۱۰
بعد از آموزش شبکه	.۵	.۶۴۵
[.۰۵: .۰۵: .۹۵]	.۷۵	.۲۸۰
	[.۰۵: .۰۵: .۹۵]	.۳۷۷

جدول ۹: مقایسه دقت تشخیص در شبکه‌های مختلف.

Methods	Fog	Rain	Snow	Sand
YOLOv3_R [۱]	۳۸/۹۵	۴۵/۵۰	۵۰/۳۳	۴۱/۶۵
RetinaNet (proposed)	۵۳/۰۰	۶۴/۵۰	۴۲/۸۰	۵۰/۳۰
Faster RCNN (proposed)	۷۰/۱۰	۷۵/۹۰	۵۲/۵۰	۵۷/۰۰

خودرو در شرایط بد آب‌وهای مربوط به شبکه از پیش آموزش داده شده YOLO است که در جدول ۹ می‌توانید نتایج به دست آمده را مقایسه کنید. برای نمونه در آب‌وهای مه آلود در شبکه از پیش آموزش داده شده YOLO در مقاله مرجع به دقت ۳۸/۹۵ رسیده است؛ اما در این مقاله با آموزش شبکه Faster RCNN به دقت ۷۰/۱۰ رسیده‌ایم.

## ۷- نتیجه‌گیری

با توجه به بررسی‌های انجام شده در این مقاله و آزمایش‌های مختلف

- [22] J. Redmon, S. Divvala, R. Girshick, and A. Farhadi, "You only look once: unified, real-time object detection," in *Proc. of the IEEE Conf. Computer Vision and Pattern Recognition, CVPR'16*, pp. 779-788, Las Vegas, NV, USA, 27-30 Jun. 2016.
- [23] W. Liu, *et al.*, "SSD: single shot multibox detector," in *Proc. of the 14th European Conference, Computer Vision, ECCV'16*, pp. 21-37, Amsterdam, The Netherlands, 11-14 Oct. 2016.
- [24] T. Y. Lin, P. Goyal, R. Girshick, K. He, and P. Dollár, "Focal loss for dense object detection," in *Proc. of the IEEE Int. Conf. on Computer Vision*, pp. 2980-2988, Venice, Italy, 22-29 Oct. 2017.
- [25] T. Y *et al.*, "Feature pyramid networks for object detection," in *Proc. of the IEEE Conf. on Computer Vision and Pattern Recognition*, pp. 2117-2125, Honolulu, HI, USA, 21-26 Jul. 2017.
- [26] T. Y. Lin, P. Goyal, R. Girshick, K. He, and P. Dollár, "Focal loss for dense object detection," *IEEE Trans. on Pattern Analysis and Machine Intelligence*, vol. 42, no. 2, pp. 318 - 327, Feb. 2017.
- یاسر جمشیدی** در سال ۱۳۸۸ مدرک کارشناسی الکترونیک را از آموزشکده فنی قزوین و مدرک کارشناسی الکترونیک را از دانشگاه غیر انتفاعی دیلمان در سال ۱۳۹۲ و مدرک کارشناسی ارشد سیستم‌های الکترونیک دیجیتال را در سال ۱۴۰۱ از دانشگاه علم و فرهنگ دریافت نموده است. زمینه‌های مورد علاقه ایشان پردازش تصویر، هوش مصنوعی و برنامه‌نویسی Embedded هستند.
- راضیه سادات اخوت** در سال ۱۳۸۵ مدرک کارشناسی مهندسی برق را از دانشگاه صنعتی شریف و مدارک کارشناسی ارشد و دکترای مهندسی برق را بهترتب در سال‌های ۱۳۸۷ و ۱۳۹۳ از دانشگاه علم و صنعت دریافت نمود. نامبرده از سال ۱۳۹۹ تاکنون ضمن هیأت علمی دانشگاه علم و فرهنگ است و زمینه‌های مورد علاقه ایشان پردازش سیگنال، پردازش تصویر، هوش مصنوعی و پیاده‌سازی مدارهای دیجیتال بر روی FPGA هستند.
- [12] S. Li, *et al.*, "Single image deraining: a comprehensive benchmark analysis," in *Proc. of the IEEE/CVF Conf. Comput. Vis. Pattern Recognit*, pp. 3838-3847, Long Beach, CA, USA, 15-20 Jun. 2019.
- [13] Y. L. Chen and C. T. Hsu, "A generalized low-rank appearance model for spatio-temporally correlated rain streaks," in *Proc. of the IEEE Int. Conf. on Computer Vision*, pp. 1968-1975, Sydney, Australia, 1-8 Dec. 2013.
- [14] L. Zhu, C. W. Fu, D. Lischinski, and P. A. Heng, "Joint bi-layer optimization for single-image rain streak removal," in *Proc. of the IEEE In. Conf. on Computer Vision*, pp. 2526-2534, Venice, Italy, 27-29 Oct. 2017.
- [15] D. Sudha and J. Priyadarshini, "An intelligent multiple vehicle detection and tracking using modified vbe algorithm and deep learning algorithm," *Soft Computing*, vol. 24, no. 22, pp. 17417-17429, Nov. 2020.
- [16] X. Han, J. Chang, and K. Wang, "Real-time object detection based on YOLO-V2 for tiny vehicle object," *Procedia Computer Science*, vol. 183, pp. 61-72, 2021.
- [17] M. Shafiee, B. Chywl, F. Li, and A. Wong, Fast YOLO: A Fast You Only Look Once System for Real-Time Embedded Object Selection in Video, arXiv preprint arXiv:1709.05943, 2017.
- [18] S. R. Sree, S. B. Vyshnavi, and N. Jayapandian, "Real-world application of machine learning and deep learning," in *Proc. of the Int. Conf. on Smart Systems and Inventive Technology, ICSSIT'19*, pp. 1069-1073, Tirunelveli, India, 27-29 Nov. 2019.
- [19] M. A. Ponti, L. S. F. Ribeiro, T. S. Nazare, T. Bui, and J. Collomosse, "Everything you wanted to know about deep learning for computer vision but were afraid to ask," in *Proc. of the 30th SIBGRAPI Conf. on Graphics, Patterns and Images Tutorials, SIBGRAPI-T'17*, pp. 17-41, Niteroi, Brazil, 17-18 Oct. 2017.
- [20] S. Ren, K. He, R. Girshick, and J. Sun, "Faster R-CNN: towards real-time object detection with region proposal networks," *IEEE Transactions on Pattern Analysis and Machine Intelligence*, vol. 39, pp. 137-149, Jun. 2017.
- [21] R. Girshick, "Fast R-CNN," in *Proc. of the IEEE Int. Conf. on Computer Vision, ICCV'15*, pp. 1440-1448, Santiago, Chile, 07-13 Dec. 2015.